

# МОДЕЛЬ ОТРАЖАЮЩЕЙ ПОВЕРХНОСТИ ЛАЗЕРНОГО КАНАЛА РАЗВЕДКИ ИНФОРМАЦИИ

В. И. ЗАБОЛОТНЫЙ, Ю. А. КОВАЛЬЧУК

Предложены составляющие для математической модели колебаний оконного стекла, закреплённого в раме, как составной части технического канала утечки речевой информации в неконтактном датчике вибраций. Приведено аналитическое решение для оценки воздействия плоской звуковой волны.

Components for a mathematical model of the fluctuations of window glass bolted in a frame, as a component of a technical channel of speech info leak in a non-contact vibration sensor are proposed. An analytical decision for estimating the action of a plane sound wave is provided.

## ВВЕДЕНИЕ

Разведка речевой информации возможна применением неконтактных лазерных датчиков вибраций. Сведения [1–7] о применении и характеристиках таких приборов достаточно противоречивы, неопределённы. Это заставляет принимать завышенные меры по защите этого технического канала утечки информации (ТКУИ).

В состав такого ТКУИ входит отражающая поверхность — чаще всего это оконное стекло, закреплённое в оконной раме, с креплением той или иной конструкции. Под действием звукового поля речи стекло колеблется. Отраженный луч лазера модулируется этими колебаниями и переносит информацию с ограниченным доступом (ИсОД). Далее производится демодуляция отражённого сигнала, последующая обработка и представление заинтересованной стороне.

Общий ТКУИ состоит из нескольких функциональных частных моделей. Частная модель, связывающая распределение звукового давления по поверхности стекла с его колебаниями, важнейшая для оценки возможностей ведения разведки и мер защиты. Её обоснование — задача данной работы.

## 1. ЭЛЕМЕНТЫ ЧАСТНОЙ МОДЕЛИ

1.1. Окноное стекло — пластина в раме, располагается в плоскости  $xOy$ , в соответствующих координатах занимает прямоугольную форму  $0 \leq x \leq a$  и  $0 \leq y \leq b$ . Удельная масса пластины —  $\rho$ ,  $T$  — сила противодействия отклонению пластины от положения равновесия.

1.2. Звуковое давление  $p$  частоты  $\omega$  распределяется по поверхности пластины по закону  $p(x, y, t)$ . В данном выражении учитывается фаза  $\phi(x, y)$  давления.

1.3. Смещение пластины за счёт звукового давления от точки равновесия выражается зависимостью  $u(x, y, t)$ .

1.4. Фронт звуковой волны может быть представлен как:

- плоский,
- сферический.

1.5. Пространственное положение плоского фронта относительно плоскости пластины:

— параллельное. Угол  $\gamma$  направления распространения к перпендикуляру к плоскости —  $\gamma = 0$ ;

— под углом к плоскости. Угол  $\gamma \neq 0$ . Направляющие углы к направлениям осей  $0x$ ,  $0y$  и перпендикуляру к ним, соответственно,  $\alpha$ ,  $\beta$  и  $\gamma$ . Соотношение углов может быть выражено известной формулой  $\cos^2 \alpha + \cos^2 \beta + \cos^2 \gamma = 1$ .

1.6. Эпицентр сферической волны располагается в точке с координатами  $x_e, y_e$ . Расстояние до центра —  $h$ .

1.7. Можно предложить три способа закрепления стекла в раме, приводящие к различным видам колебаний пластины (рис. 1).

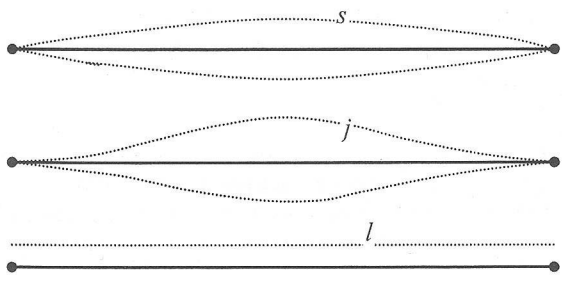


Рис. 1. Виды колебаний пластины

1.8. Закрепление пластины в раме может быть: *шарнирное* —  $s$ , когда кромка пластины под действием звукового давления может совершать вращательное движение вдоль внутренних границ рамы. Такое возможно при закреплении только краёв пластины. Аналитически это выполнение системы уравнений:  $u(x, y) = 0$ , при  $x = 0, x = a, y = 0, y = b$ .

1.9. При «жёстком» —  $j$  закреплении в раме стекло может только изгибаться, вращение вдоль кромок отсутствует. Аналитически это означает прибавление к системе уравнений п.п. 1.8 системы

$$\frac{\partial}{\partial x} u(x, y) = 0, \text{ при } x = 0, x = a,$$

$$\frac{\partial}{\partial y} u(x, y) = 0, \text{ при } y = 0, y = b.$$

Такое крепление можно назвать «зашемлением».

1.10. «Люфтовое» закрепление — *I* заключается в возможности перемещения пластины поперёк кромок закрепления без изгиба вблизи креплений. Аналитически это выполнение условий

$$\frac{\partial}{\partial x}u(x,y)=0, \frac{\partial}{\partial y}u(x,y)=0,$$

при  $x=0, x=a, y=0, y=b$ .

1.11. На практике могут иметь место все три варианта. Степень проявления каждого из вариантов зависит от конструкции крепления пластины стекла к раме. Доля вклада в общее движение пластины каждой составляющей может быть учтена как

$$u(x,y)=s\times u_s(x,y)+j\times u_j(x,y)+l\times u_l(x,y),$$

$$0\leq s\leq 1, \quad 0\leq j\leq 1, \quad 0\leq l\leq 1, \quad s+j+l=1.$$

1.12. Кроме максимального перемещения (амплитуды) каждой точки относительно равновесного состояния, совпадающего с плоскостью  $x0y$ , вычисленного по формулам 1.11, необходимо оценить и максимальные углы наклона поверхности пластины, вычисленные как частные производные по координатам  $x, y$ :

$$\frac{\partial}{\partial x}u(x,y), \quad \frac{\partial}{\partial y}u(x,y).$$

## 2. МОДЕЛЬ ПРОСТРАНСТВЕННОГО ВОЗДЕЙСТВИЯ ЗВУКОВОГО ПОЛЯ НА ОКОННУЮ ПЛАСТИНУ

2.1. Плоская звуковая волна перпендикулярно падает на стеклянную пластину  $p(x,y,t)=psin\omega t$ , что означает независимость мгновенного значения давления от координаты.

2.2. Плоская звуковая волна падает на стеклянную пластину под углом  $\gamma$  к нормали. Из соотношения  $\cos^2\alpha + \cos^2\beta + \cos^2\gamma = 1$  можно вывести мгновенное действие звукового давления:  $p(x,y,t)=psin(\omega t - kxsin\alpha - kysin\beta)$ , где  $k$  — волновое число  $k=2\pi/\lambda$ ;  $\lambda$  — длина волны колебания звукового поля. В формуле, без потери общности, считается, звуковая волна сначала приходит в точку с координатами  $x=0, y=0$ . В системе координат  $x0y$  линии равных фаз и давлений на пластине представляют собой линии параллельные прямой  $xsin\alpha - ysin\beta = 0$ . Расстояния между линиями фаз, отличных на  $2\pi$ , одинаковы. Величины давлений везде одинаковы.

2.3. Мгновенное значение звукового давления сферической волны может быть выражено как:  $p(r,t)=\frac{p_0}{r}sin(\omega t - kr)$ , где  $p_0$  — фактическая амплитуда звукового давления на произвольном расстоянии, например,  $h$  от источника звука,  $r$  — расстояние от источника до любой из точек пластины. Учитывая условия 1.6, можно записать:  $r=\sqrt{h^2+(x-x_e)^2+(y-y_e)^2}$ . После подстановок получается

$$p(r,t)=\frac{p_0 sin\left(\omega t - k\sqrt{h^2+(x-x_e)^2+(y-y_e)^2}\right)}{\sqrt{h^2+(x-x_e)^2+(y-y_e)^2}}.$$

В системе координат  $x0y$  линии равных фаз и давлений на пластине представляют собой концентрические окружности с центром в точке с координатами  $x_e, y_e$ . Расстояния между линиями фаз, отличных на  $2\pi$ , уменьшаются от эпицентра к наиболее удалённым. Минимальное значение на бесконечном расстоянии от эпицентра составляет  $\lambda$ . Величины давлений уменьшаются по закону  $1/r$ .

2.4. При небольших давлениях разных источников звуков, что имеет место на практике, колебания пластины могут рассматриваться как суперпозиция разных колебаний.

## 3. СПОСОБ РЕШЕНИЯ ЗАДАЧИ

Данная задача может решаться методами математической физики [8].

3.1. Дифференциальное уравнение малых колебаний плоской однородной пластины под действием внешнего давления имеет вид:

$$\frac{\partial^2 u}{\partial x^2} + \frac{\partial^2 u}{\partial y^2} = \frac{1}{c^2} \frac{\partial^2 u}{\partial t^2} - \frac{p(x,y,t)}{T},$$

где  $u$  — смещение пластины от положения равновесия;  $p(x,y,t)$  — давление внешней силы на пластину;  $T$  — сила противодействия отклонению пластины от положения равновесия;  $\rho$  — поверхностная плотность пластины;  $c^2 = T/\rho$  — коэффициент.

3.2. Для плоской волны, с фронтом, параллельным пластине, учитывая 3.1, 2.1 и ограничения из 1.8, можно записать систему

$$\frac{\partial^2 u}{\partial x^2} + \frac{\partial^2 u}{\partial y^2} = \frac{1}{c^2} \frac{\partial^2 u}{\partial t^2} - \frac{p(x,y,t)}{T},$$

граничные условия в пространстве  $u(x,y)=0$  и начальные условия по времени

$$u|_{t=0}=u_0(x,y), \quad \frac{\partial u}{\partial t}|_{t=0}=u_1(x,y)$$

при  $x=0, x=a, y=0, y=b$ .

Решение этого уравнения представляется как:

$$u(x,y,t)=\frac{2pabc^2}{\pi^4 T} \left[ \sum_{v,\eta=1}^{\infty} \frac{1}{v\eta\mu_{v,\eta}c} \sin^2 \frac{\pi v}{2} \sin^2 \frac{\pi \eta}{2} \times \right. \\ \left. \times \left( \frac{1}{\mu_{v,\eta}c - \omega} + \frac{1}{\mu_{v,\eta}c + \omega} \right) \sin \frac{\pi}{a} vx \times \sin \frac{\pi}{b} \eta y \right] \sin \omega t,$$

где  $\mu_{v,\eta}=\pi\sqrt{\frac{\eta^2}{b^2}+\frac{v^2}{a^2}}$ ;  $\eta, v$  — число целых полуволн колебаний пластины в каждом из направлений  $x0y$ .

3.3. Все точки пластины совершают вынужденные гармонические колебания относительно точки покоя, что следует из множителя  $\sin \omega t$ .

3.4. Форма изгиба пластины вдоль осей  $0x$  и  $0y$  происходит по закону синуса. Это следует из множителей  $\sin \frac{\pi}{a} vx \times \sin \frac{\pi}{b} \eta y$ .

3.5. Анализ выражения  $\sin^2 \frac{\pi v}{2} \sin^2 \frac{\pi \eta}{2}$  из 3.2 даёт основание считать наличие нечётного количества полуволновых колебаний пластины вдоль каждого из направлений.

3.6. Знаменатель  $v\eta\mu_{v,\eta}$  свидетельствует об уменьшении амплитуды колебаний в пучностях с увеличением номера колебания  $v, \eta$  по каждой из осей.

3.7. Представляется возможным резкое увеличение амплитуды колебаний для частоты  $\omega_p$ , удовлетворяющей решению уравнения  $\mu_{v,\eta} c - \omega = 0$ , что соответствует явлению резонанса пластины под действием звукового поля.

3.8. Максимальное отклонение пластины от точки равновесия будет в точках с координатами, удовлетворяющими условиям  $\left| \sin \frac{\pi}{a} vx \times \sin \frac{\pi}{b} \eta y \right| = 1$ . Из этого вытекает:

$$x_{vm} = \frac{a}{2v}(1+2m),$$

где  $m$  – номер максимума вдоль оси  $0x$ ,

$$y_{vn} = \frac{b}{2\eta}(1+2n),$$

где  $n$  – номер максимума вдоль оси  $0y$ ,

$$0 \leq m \leq v, 0 \leq n \leq \eta.$$

3.9. Наибольший угол отклонения пластины от положения равновесия может быть определён как частная производная  $u(x, y, t)$  по координате  $x$  или  $y$ , соответственно. Чтобы не приводить громоздкие искомые выражения, можно указать лишь функцию, определяющую эти углы как решение системы уравнений:

$$\frac{\partial}{\partial x} \left( \sin \frac{\pi}{a} vx \sin \frac{\pi}{b} \eta y \right) = \frac{\pi v}{2a} \sin \frac{2\pi}{a} vx \times \sin \frac{\pi}{b} \eta y = 0,$$

$$\frac{\partial}{\partial y} \left( \sin \frac{\pi}{a} vx \sin \frac{\pi}{b} \eta y \right) = \frac{\pi \eta}{2b} \sin \frac{2\pi}{b} \eta y \times \sin \frac{\pi}{a} vx = 0.$$

Графически такое решение представлено на рис. 2. Параметры, в данном примере,  $\eta=1$  и  $v=3$ .

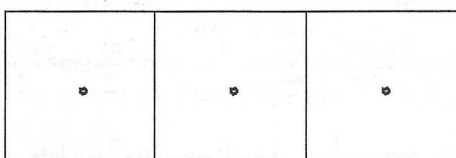


Рис. 2

- – точки расположения наибольших амплитуд отклонения пластины;
- линии наибольших углов наклона участков пластины.

3.10. Реально пластина находится под действием более сложного звукового поля, чем приведенные. Реальные поля содержат плоские и сферические волны. Кроме того, в помещениях присутствует явление реверберации, послезвучания, оказывающее влияние на слышимость речи. Математическая реверберация характеризуется временем задержки и величиной ослабления давления поля. Учтёт всего этого усложняет точное аналитическое решение задачи описания колебаний пластины.

## ВЫВОДЫ

Полученная модель колебаний пластины под действием звукового поля позволяет:

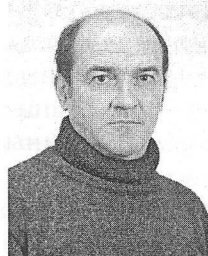
- оценивать амплитуды и углы отклонения стекла, закреплённого в оконной раме;
- определять места на окне, наиболее опасные относительно применения неконтактного лазерного прибора разведки речевой информации;
- обосновывать принципы и порядок применения средств защиты от разведки.

При невозможности решения уравнений классическими методами интегрирования, современные ЭВМ и разработанное программное обеспечение позволяют применять приближённые численные методы.

### Литература.

- [1] Варташесян В. А. Радиоэлектронная разведка. — М.: Воениздат, 1991. — 254 с.
- [2] Технические средства разведки /Под ред. В. И. Мухина. — М.: РВСН, 1992. — 394 с.
- [3] Эйджи Ф. За кулисами ЦРУ. /Пер. с англ. — М.: Воениздат, 1979. — 464 с.
- [4] Предпринимательство и безопасность. — М.: Универсум, 1991. — С. 215–216.
- [5] Optronics. 1991. V.10, № 10. — Р. 89–100.
- [6] Квантовая электроника. 1989. № 7. — С. 1494–1498.
- [7] Donald F. B. Robot Spice of KGB //Signal. 1989. V. 44, № 10. — Р. 37–38.
- [8] Михлин С. Г. Курс математической физики. — М.: Наука, 1968. — 575 с.

Поступила в редакцию 22.07.2007



**Заболотный Владимир Ильич**, доцент кафедры БИТ ХНУРЭ. Область научных интересов: техническая защита информации.



**Ковалычук Юрий Алексеевич**, аспирант кафедры БИТ ХНУРЭ. Область научных интересов: техническая защита информации.